

Fig. 1A

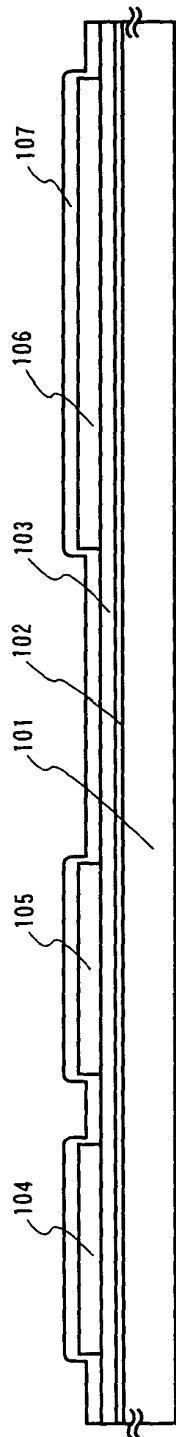


Fig. 1B

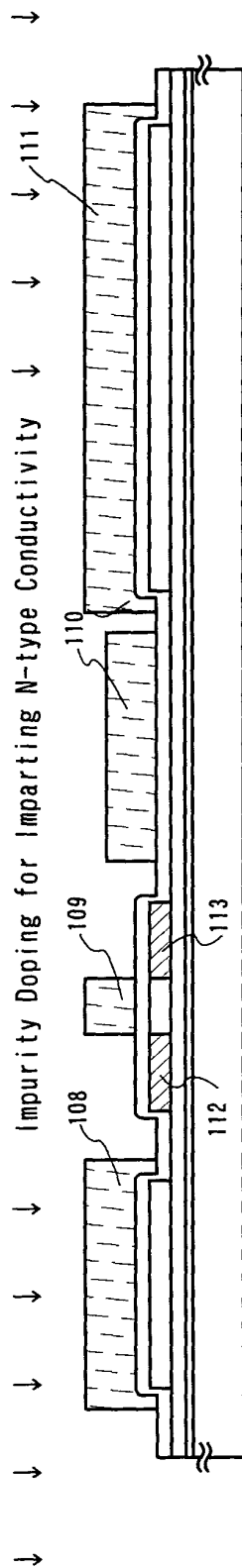


Fig. 1C

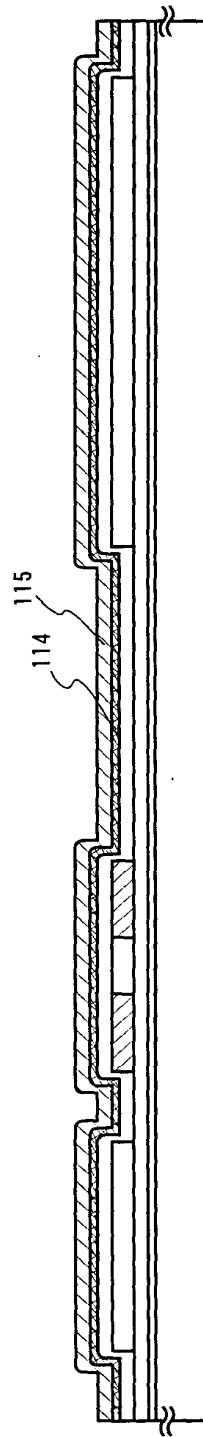


Fig. 2A

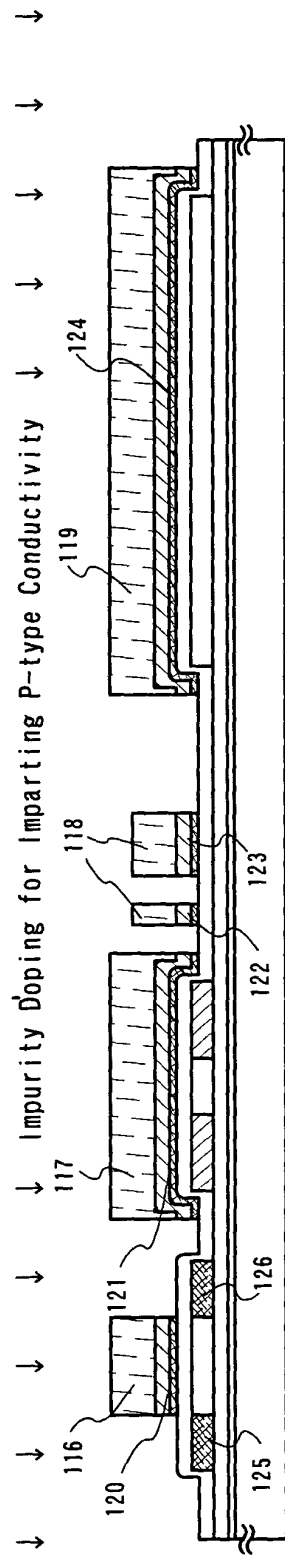


Fig. 2B

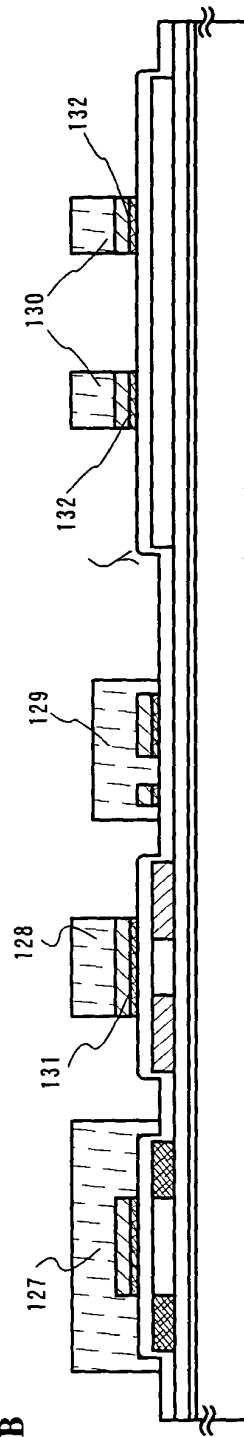


Fig. 2C

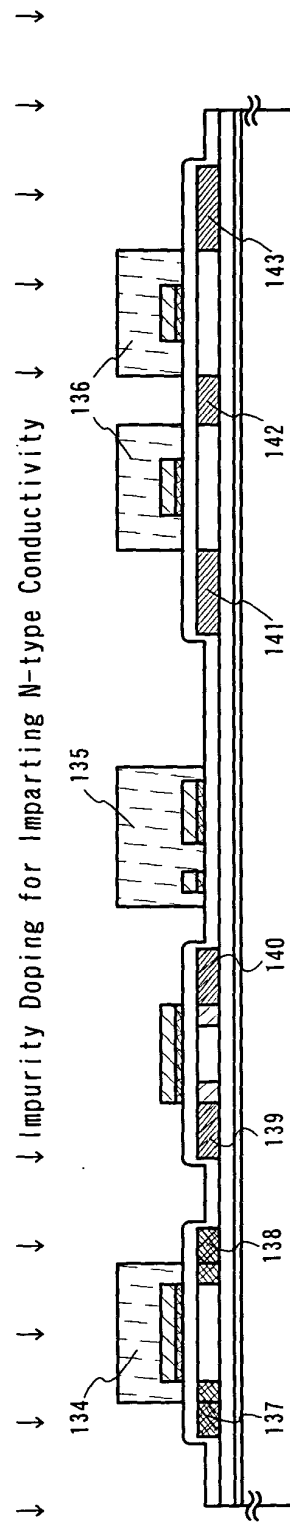


Fig. 3A

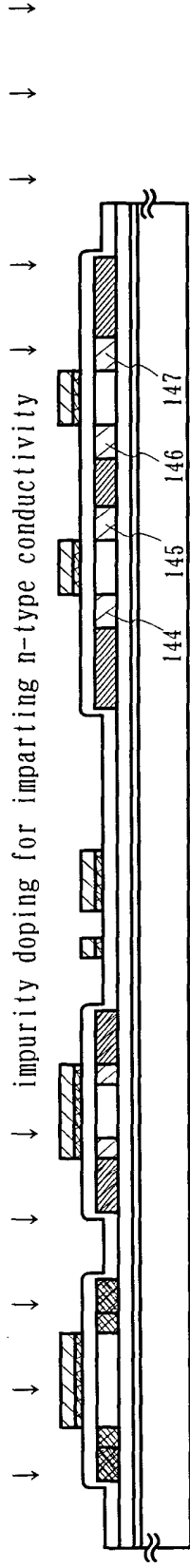


Fig. 3B

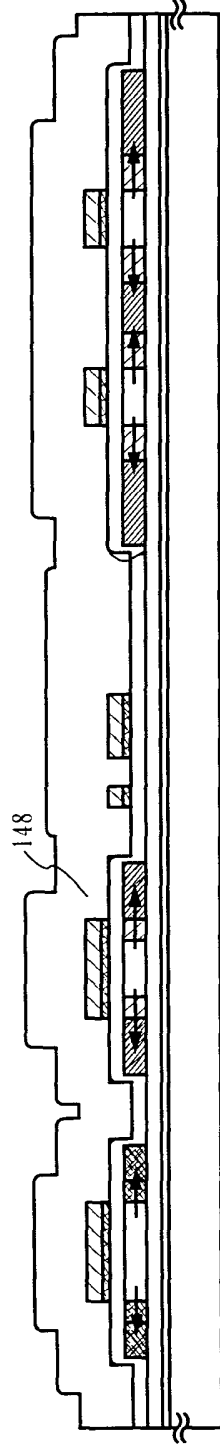


Fig. 3C

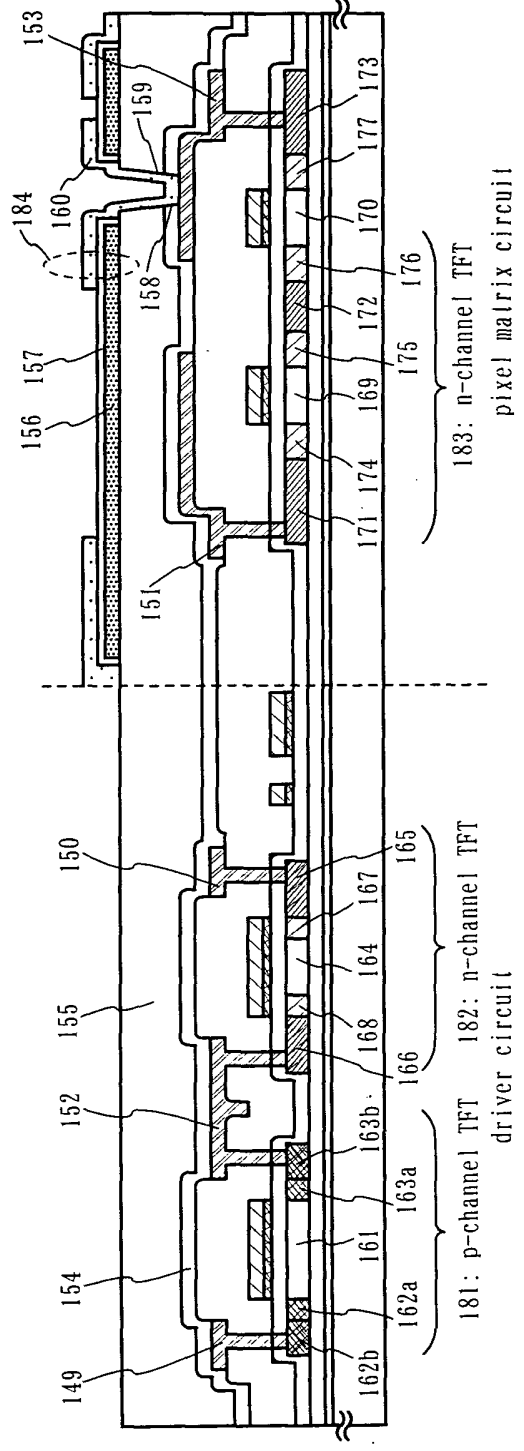
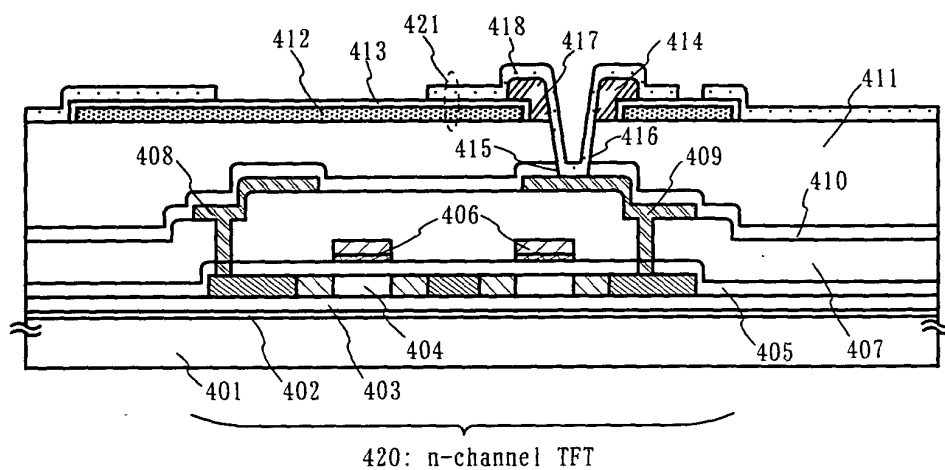


Fig. 4



00120 52920560

Fig. 5A

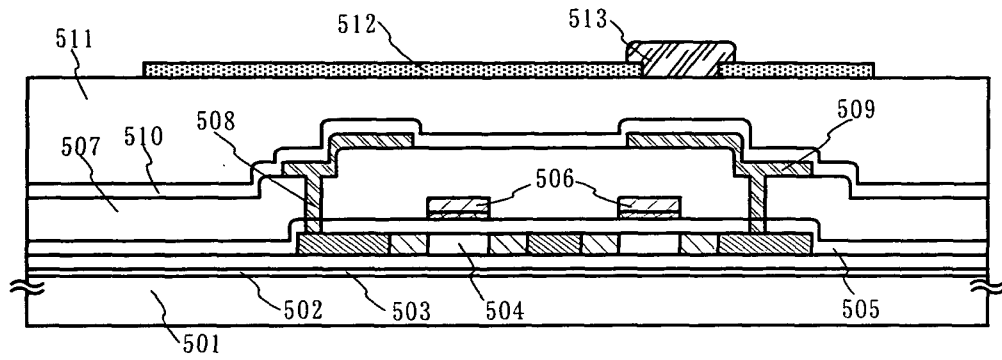


Fig. 5B

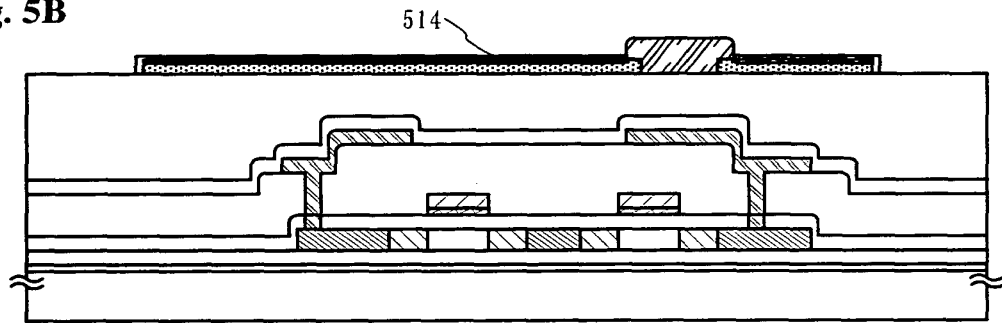


Fig. 5C

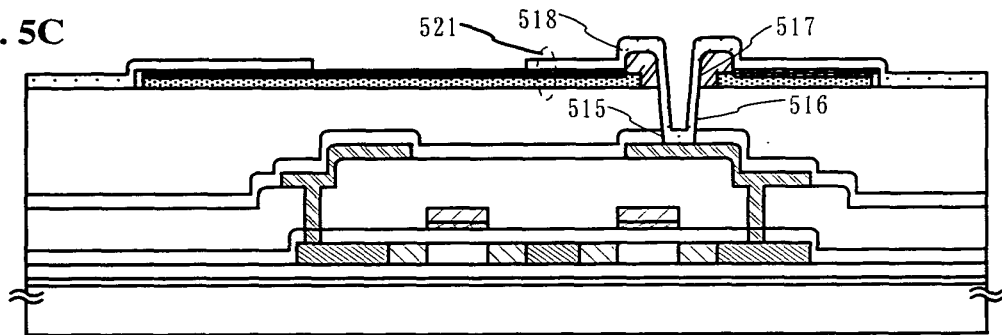


Fig. 6A

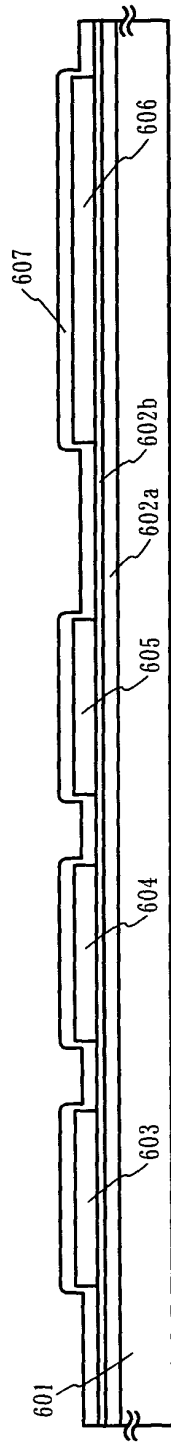


Fig. 6B

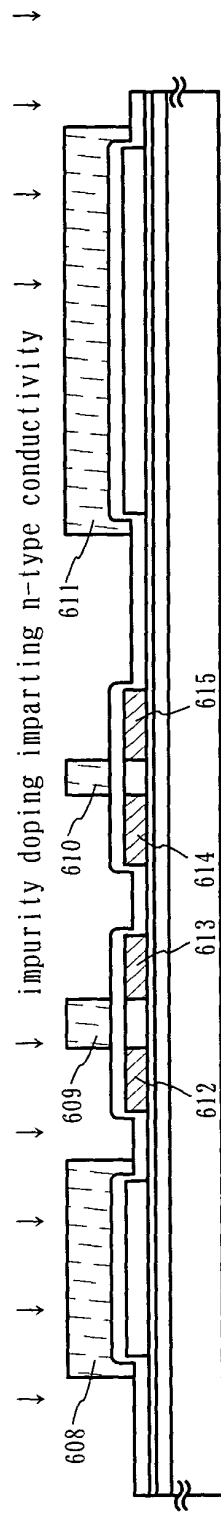


Fig. 6C

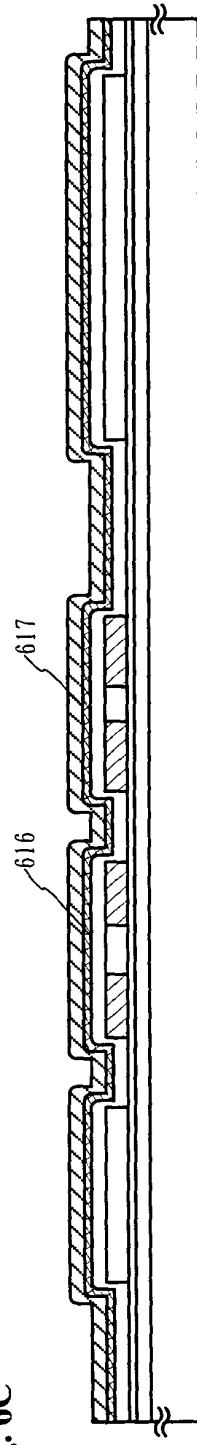


Fig. 6D

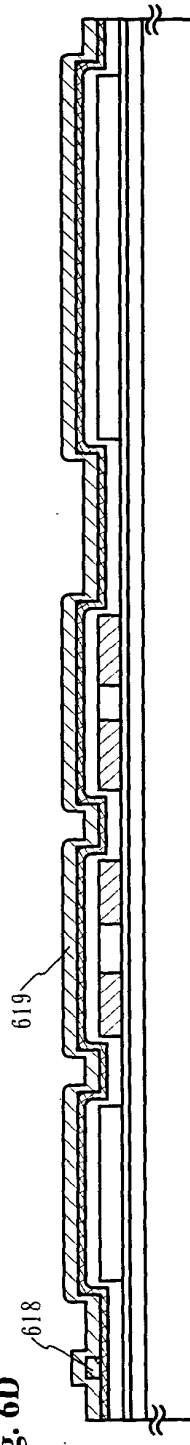


Fig. 7A

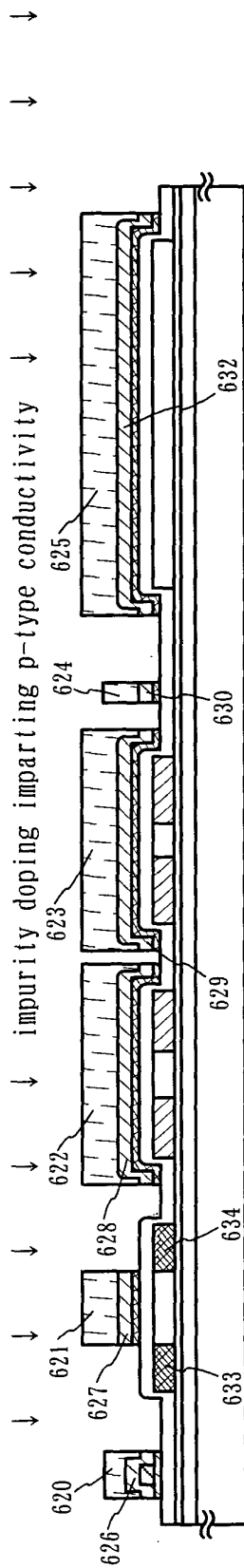


Fig. 7B

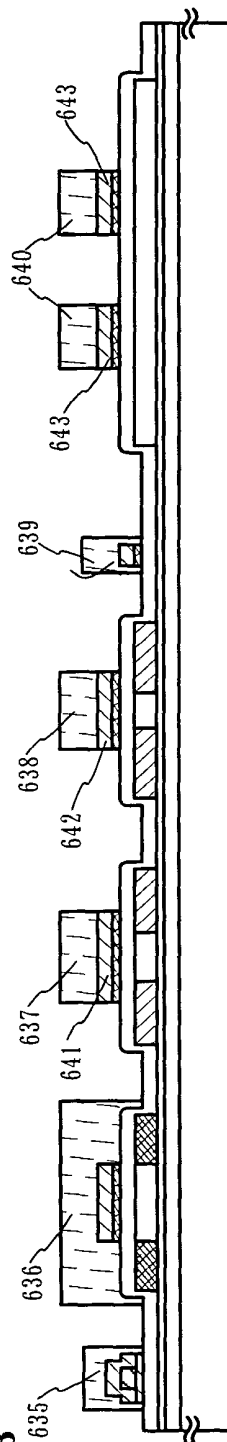


Fig. 7C

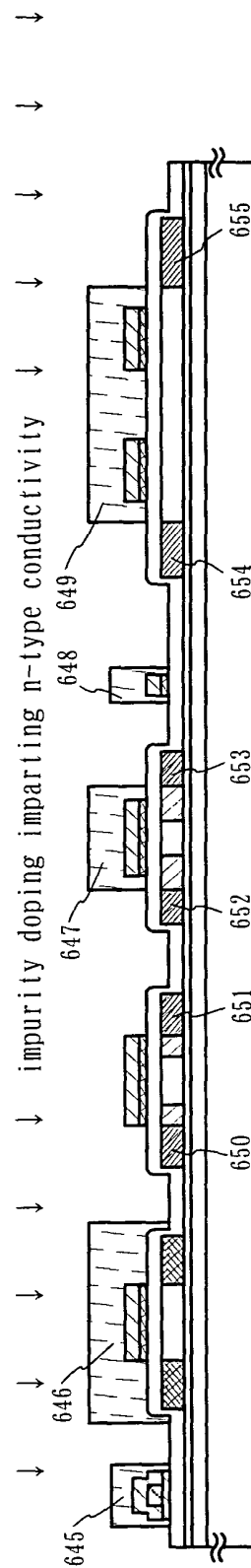


Fig. 8A

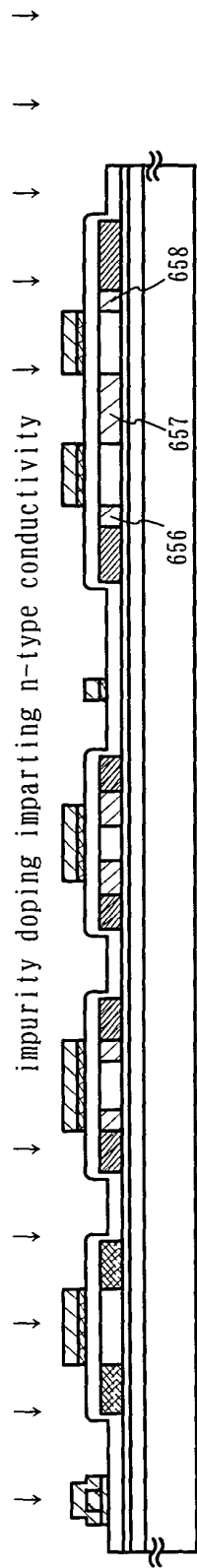


Fig. 8B

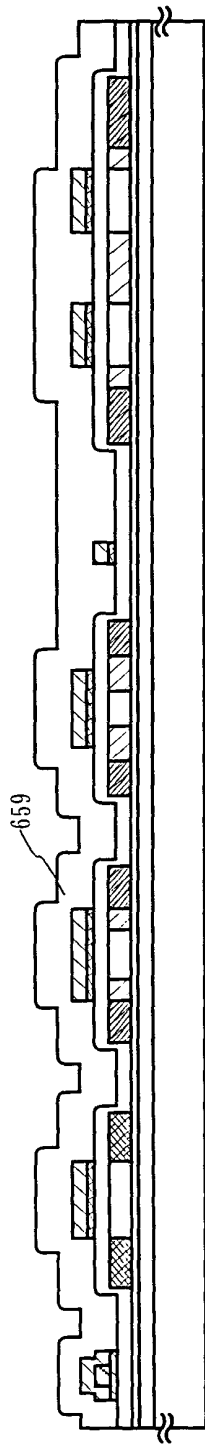


Fig. 8C

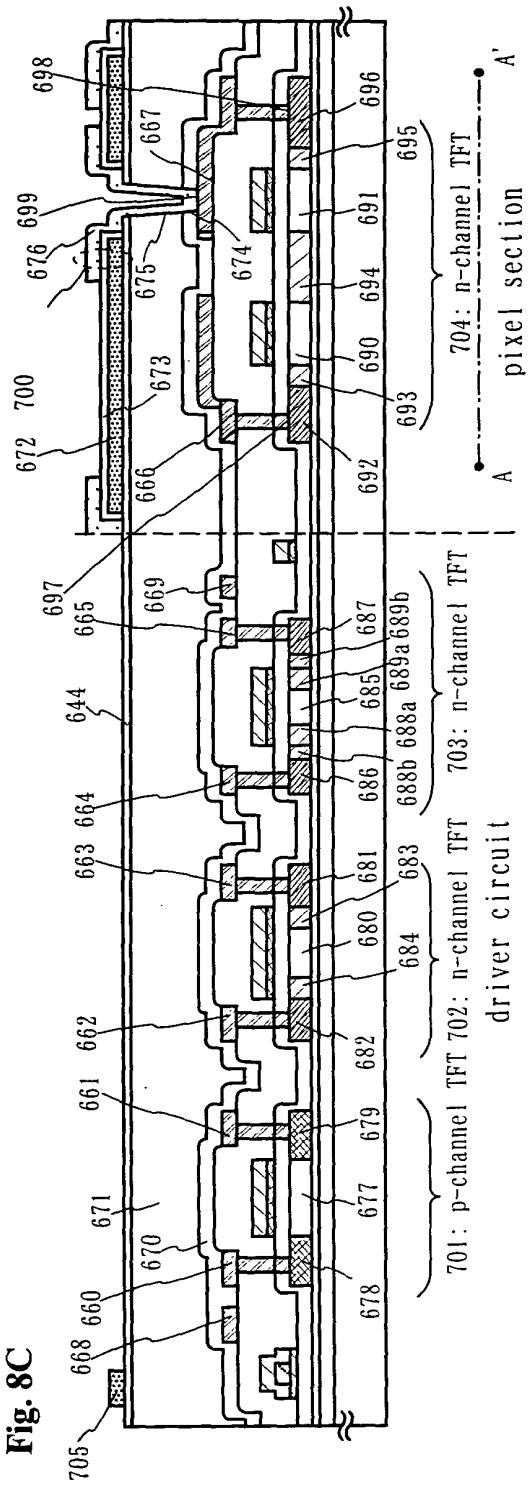


Fig. 9

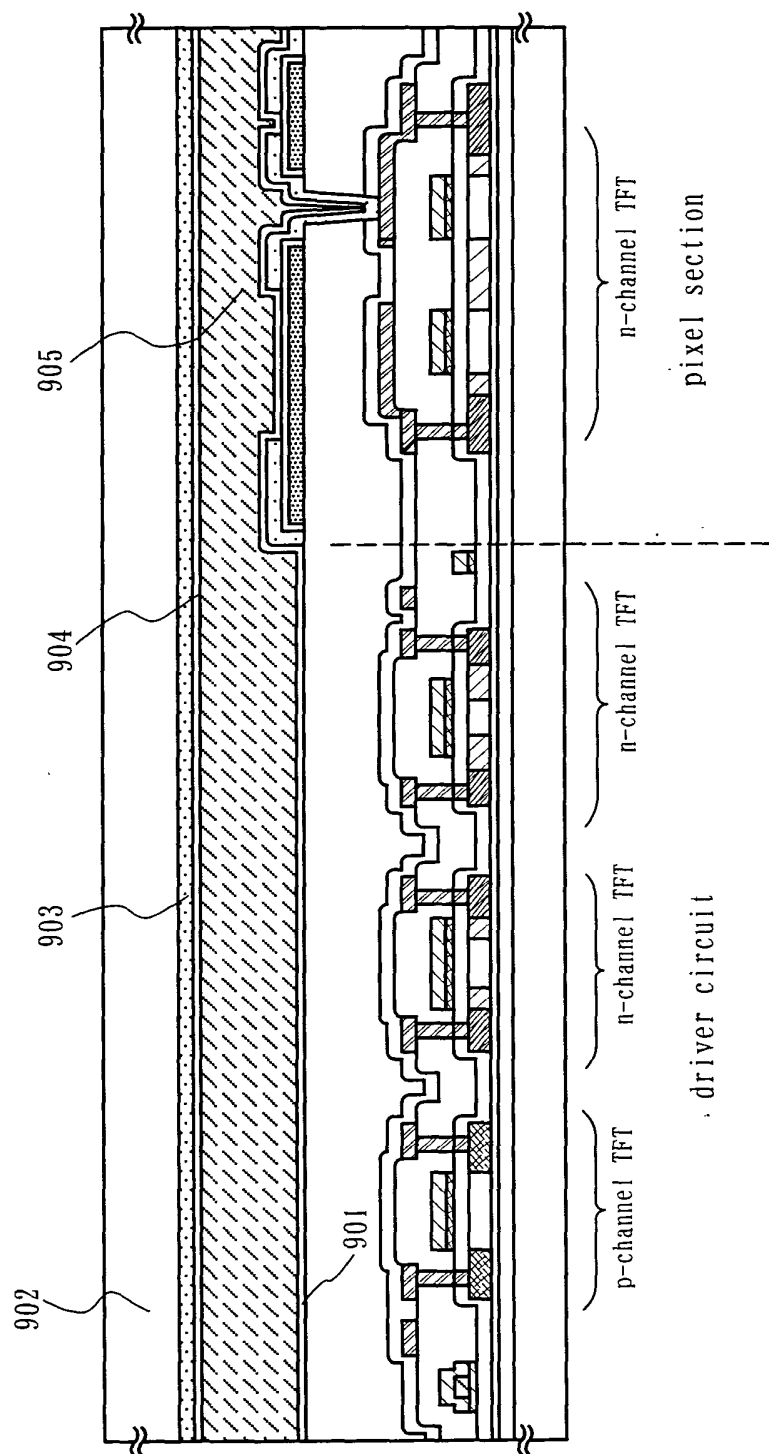
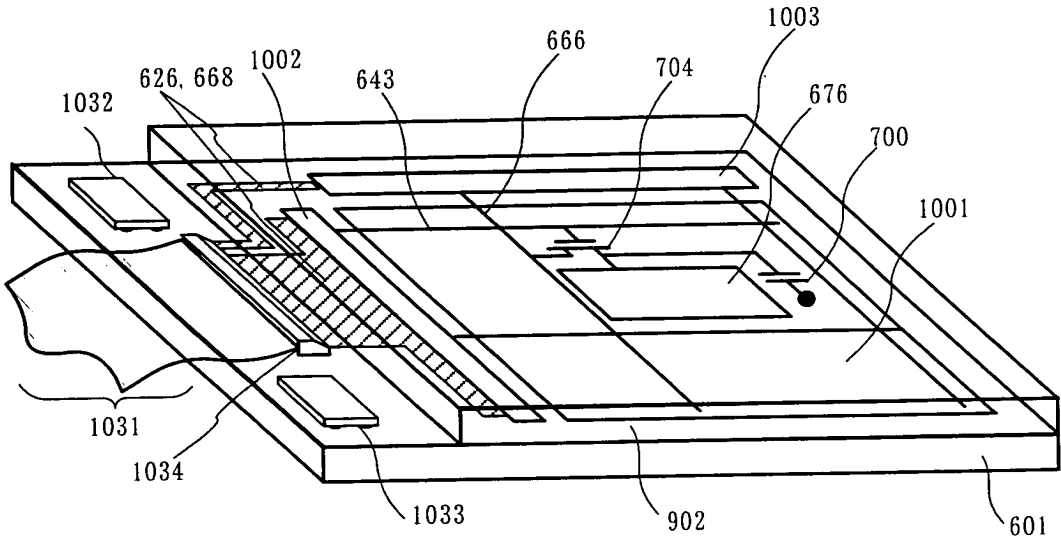


Fig. 10



00502675-024400

Fig. 11A

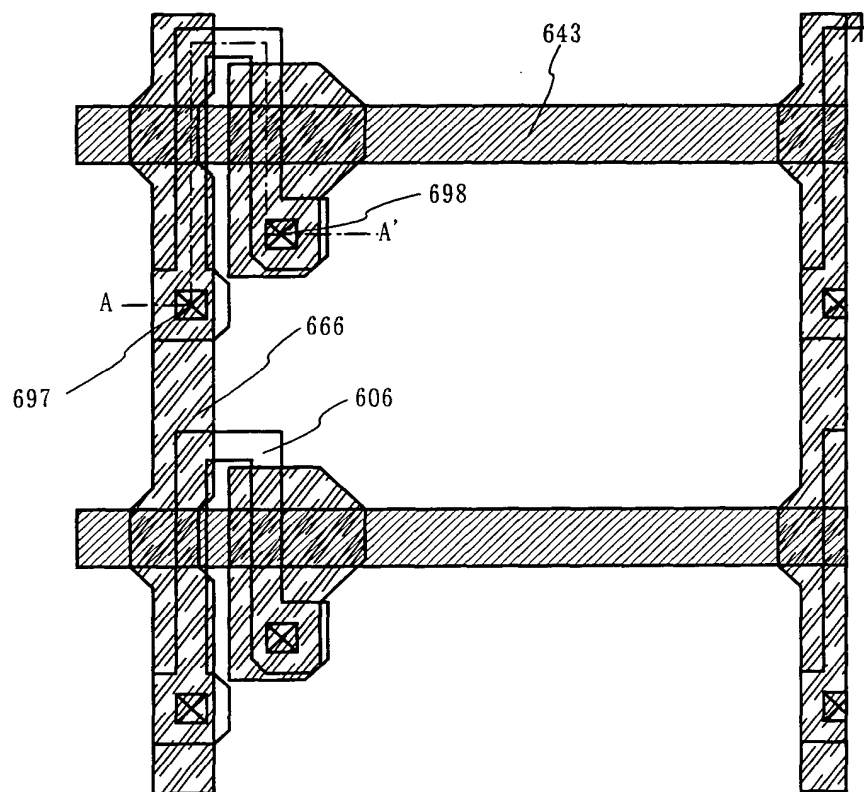


Fig. 11B

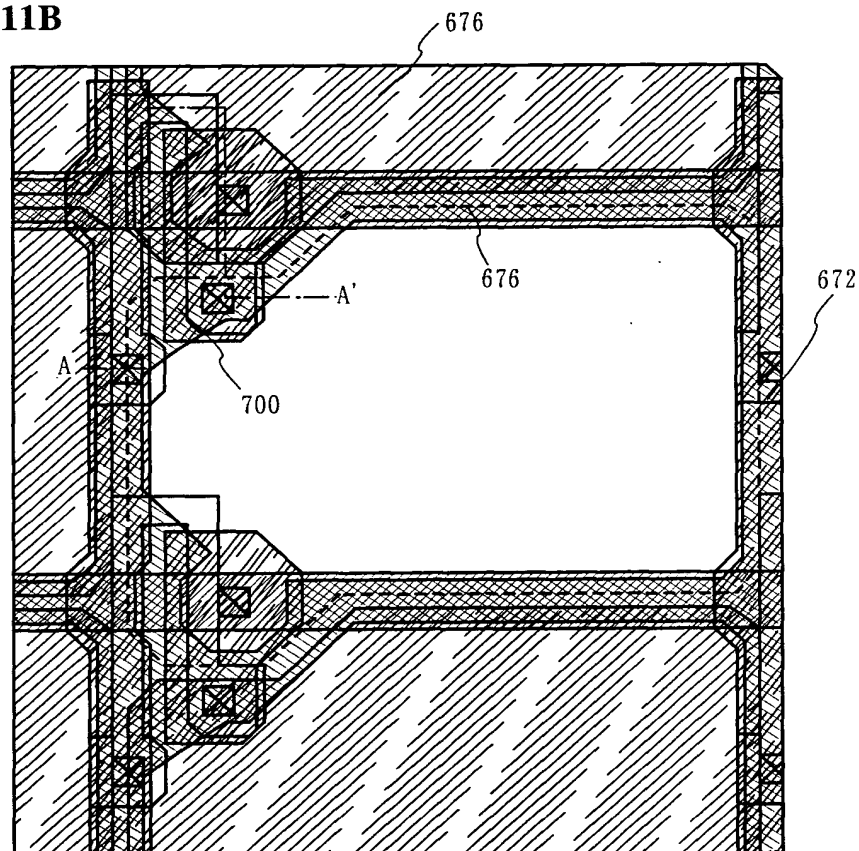


Fig. 12A

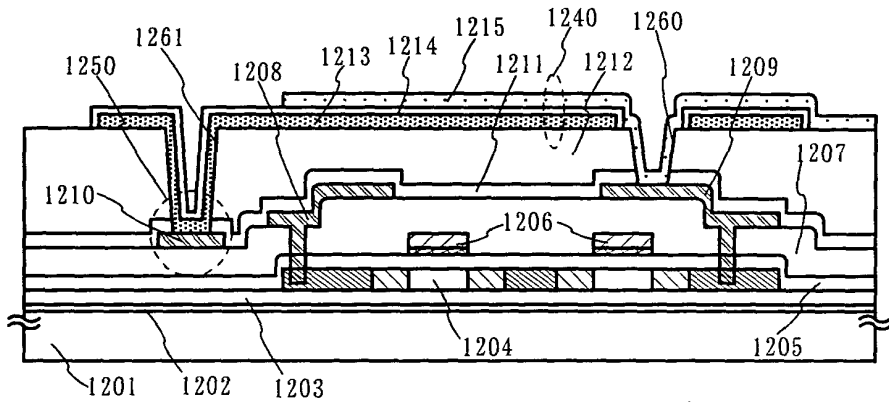


Fig. 12B

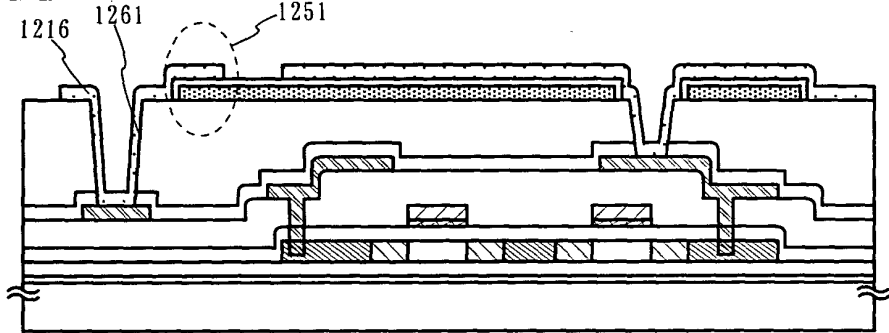


Fig. 12C

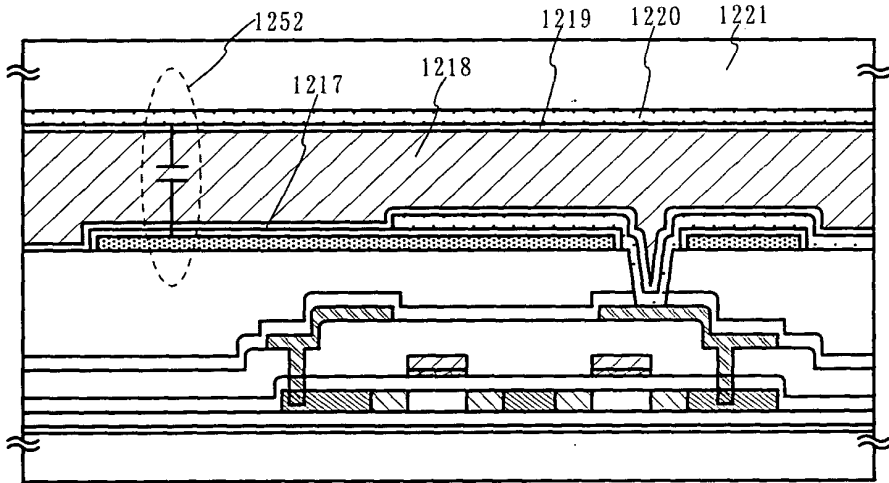


Fig. 13

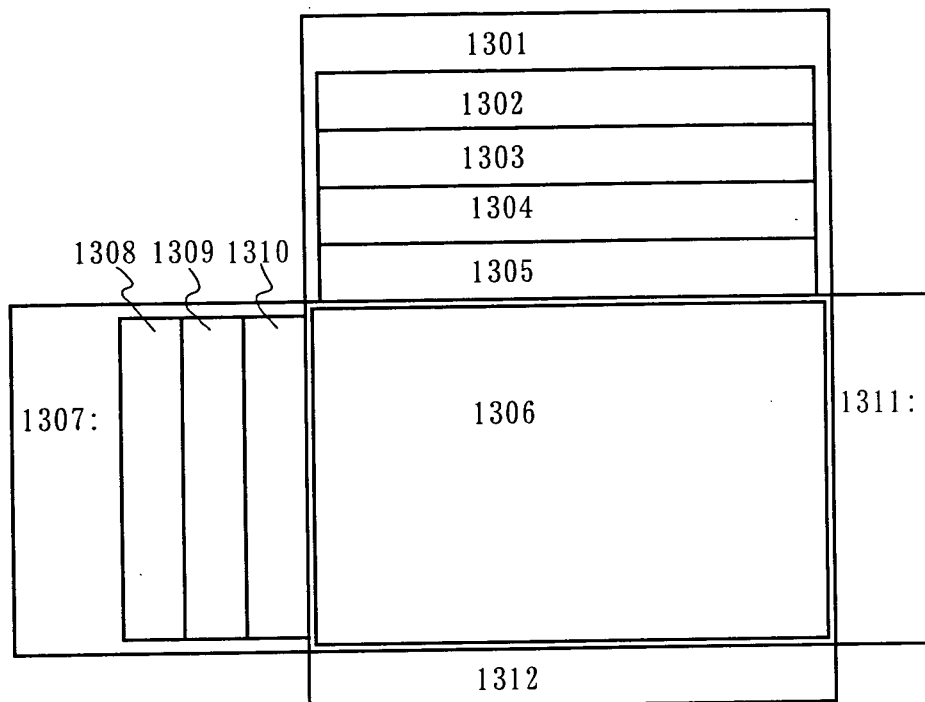


Fig. 14A

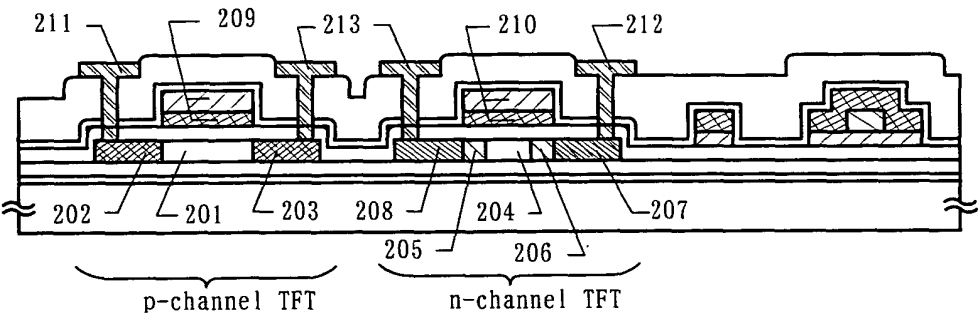


Fig. 14B

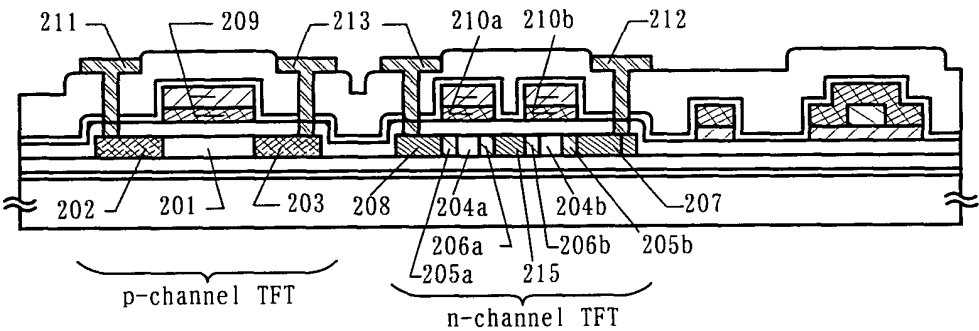


Fig. 14C

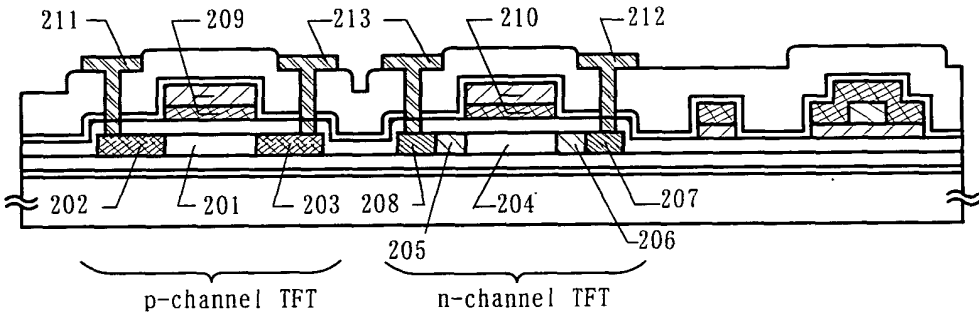


Fig. 14D

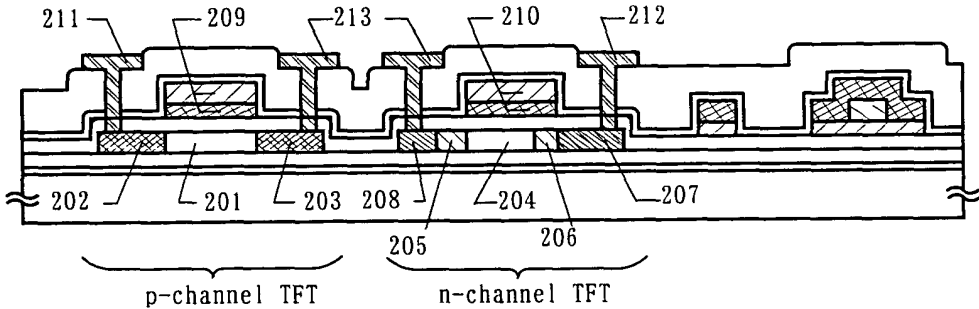
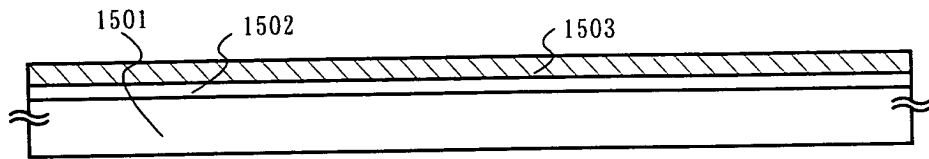


Fig. 15A



Fig, 15B

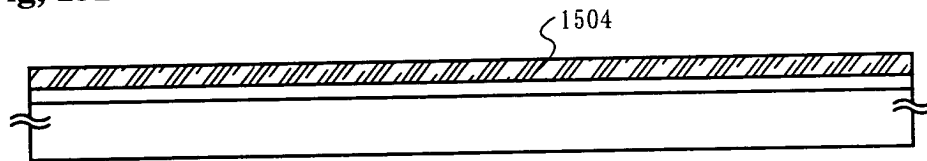


Fig. 15C

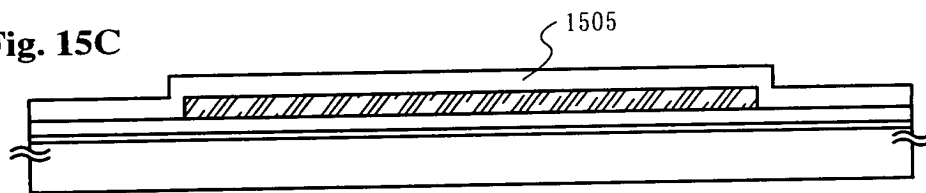


Fig. 16A

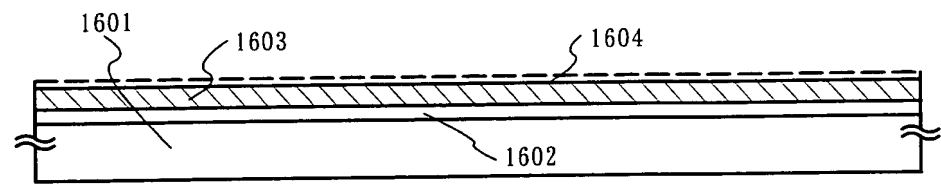


Fig. 16B

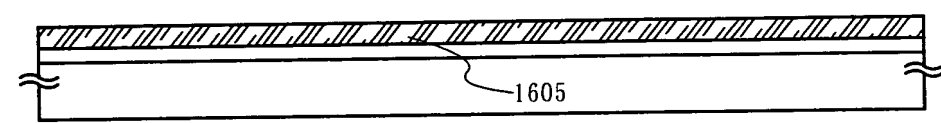


Fig. 16C

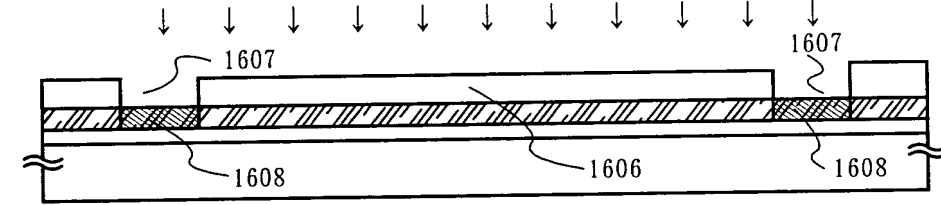


Fig. 16D

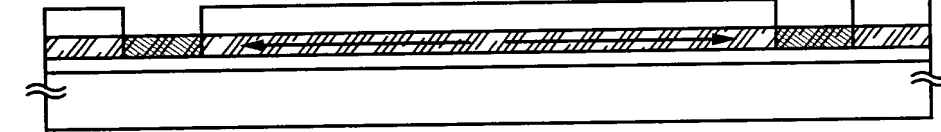


Fig. 16E

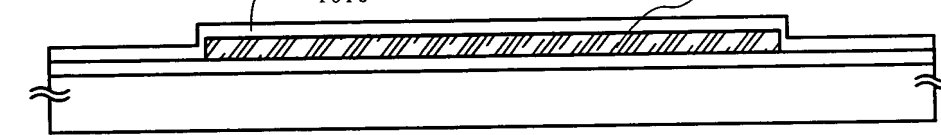


Fig. 17A

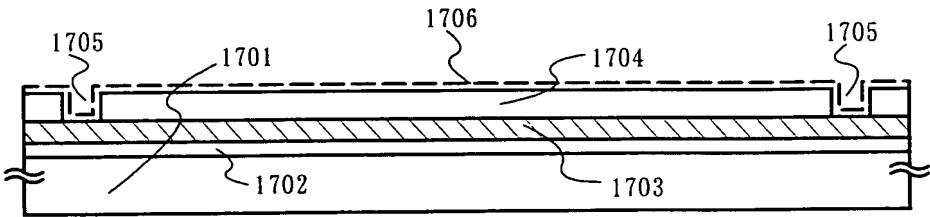


Fig. 17B

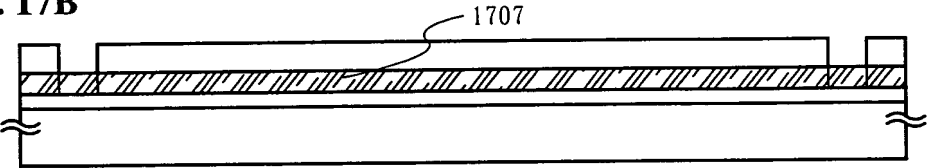


Fig. 17C

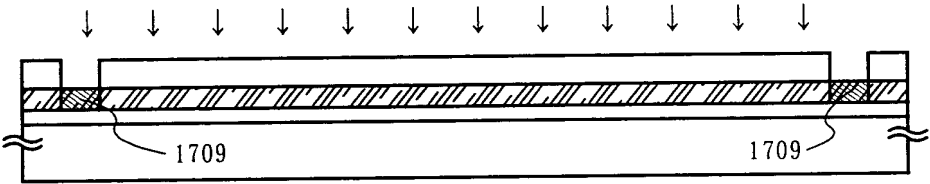


Fig. 17D

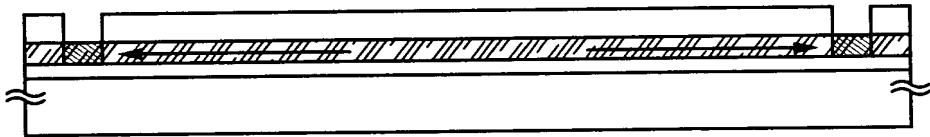
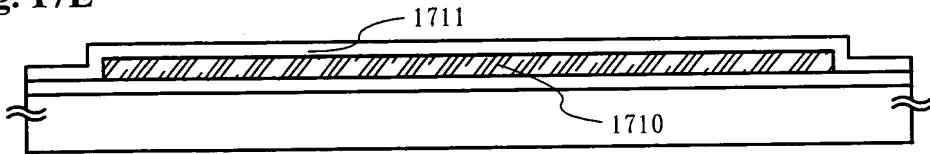


Fig. 17E



00503675-03400

Fig. 18A

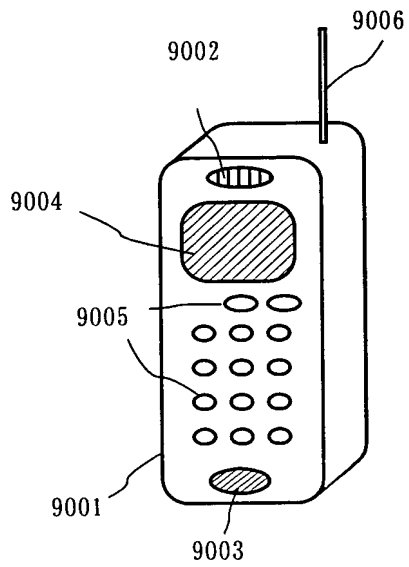


Fig. 18B

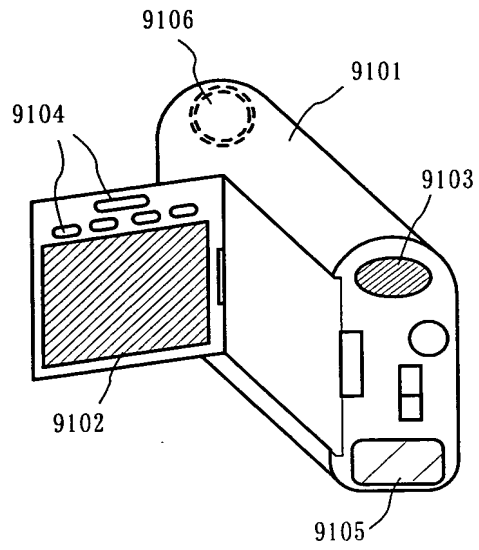


Fig. 18C

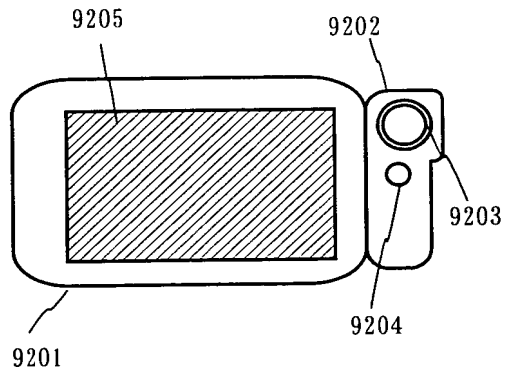


Fig. 18D

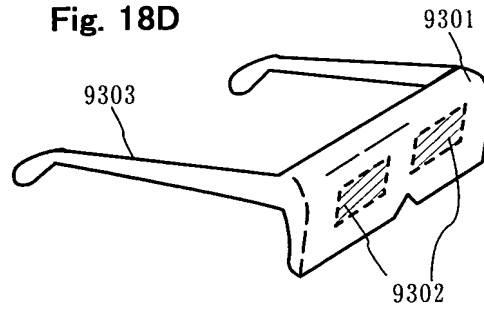


Fig. 18E

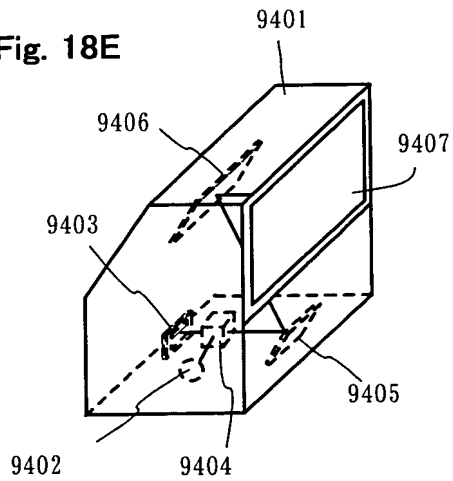


Fig. 18F

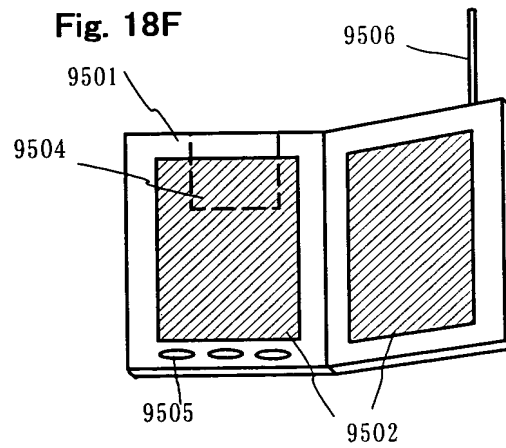


Fig. 20A

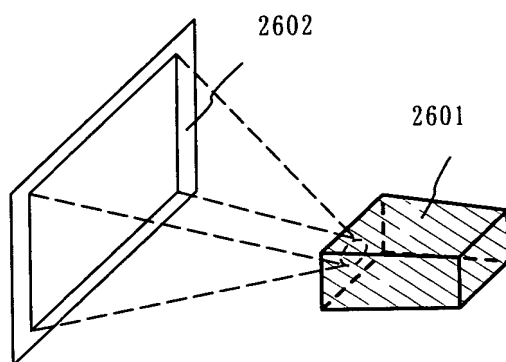


Fig. 20B

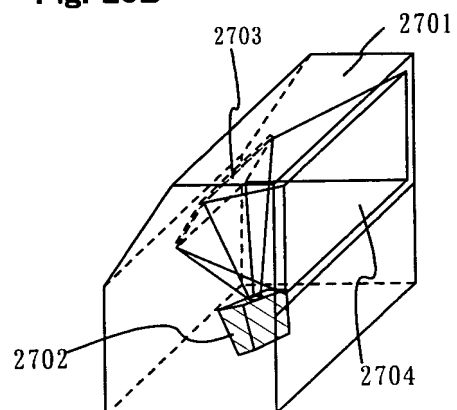


Fig. 20C

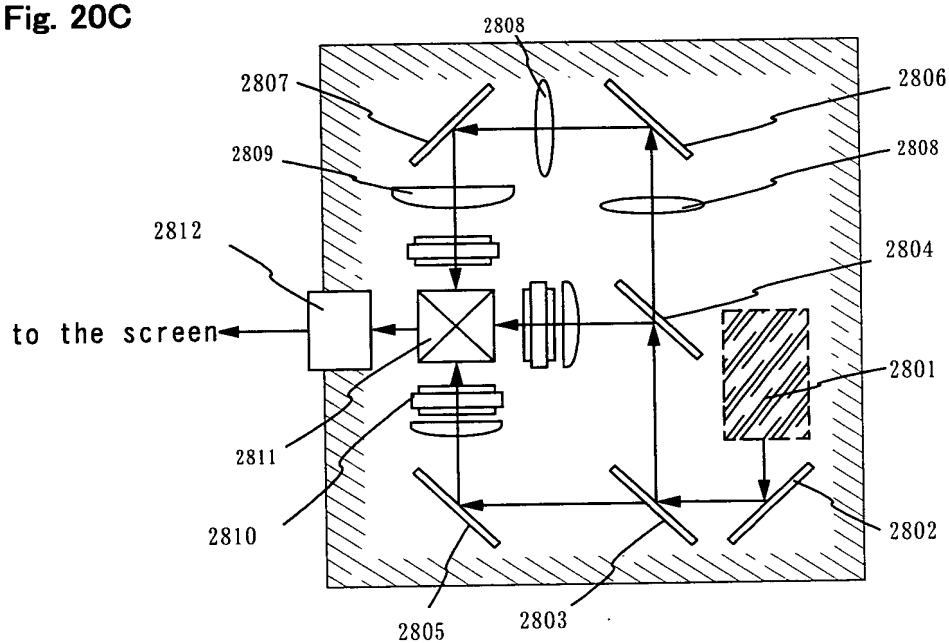


Fig. 20D

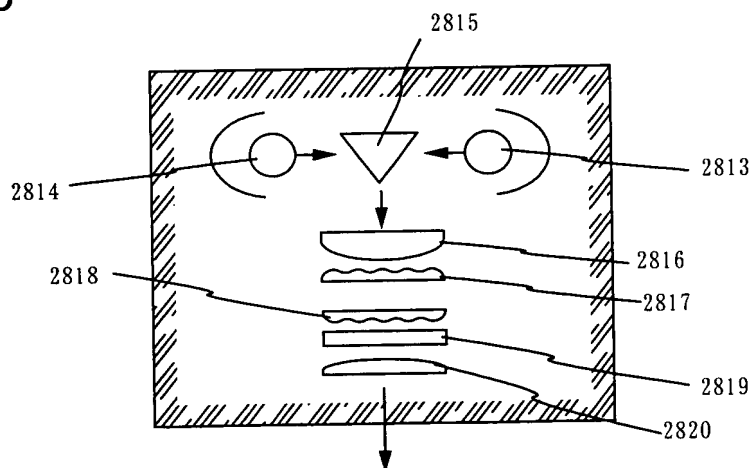


Fig. 21A

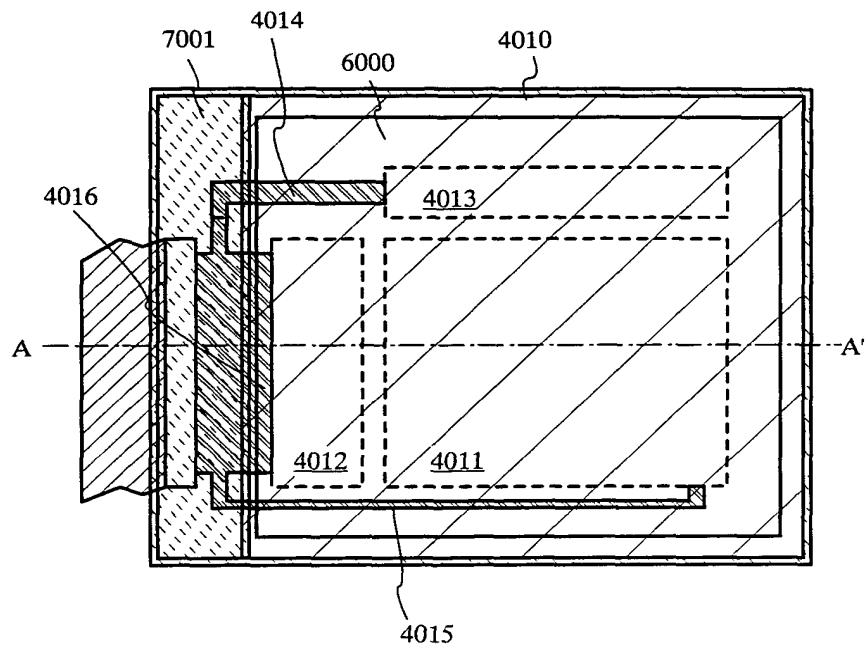


Fig. 21B

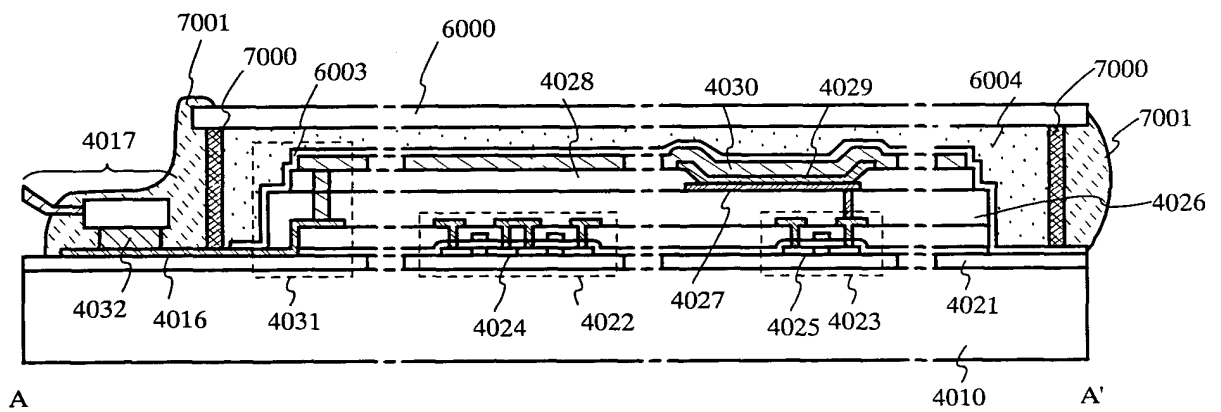


Fig. 22A

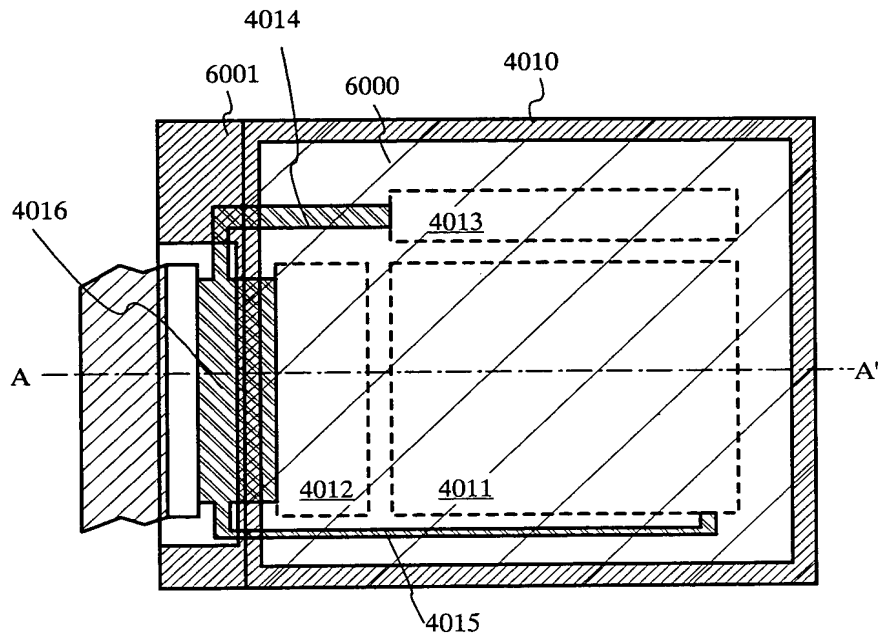


Fig. 22B

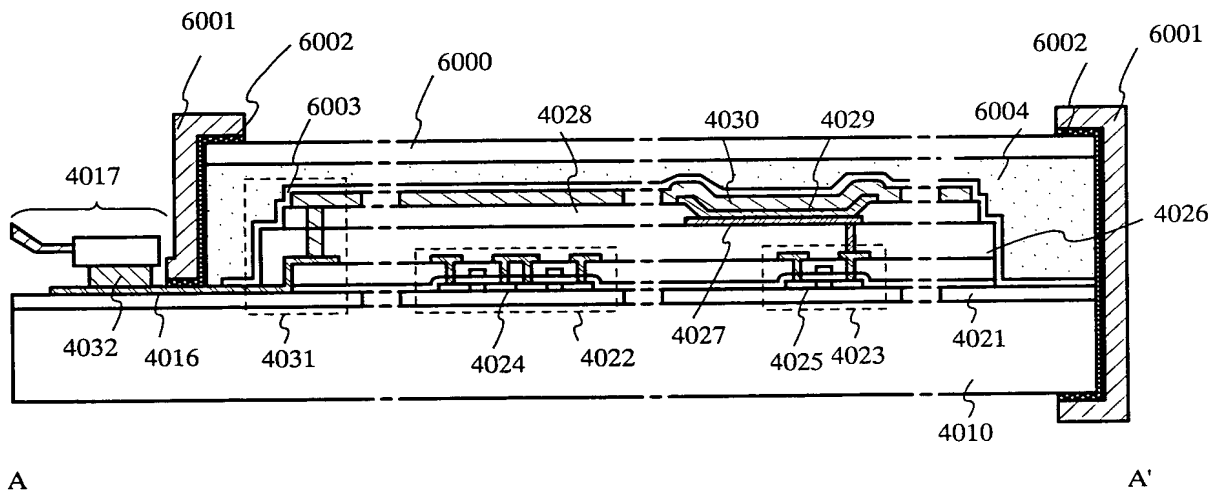
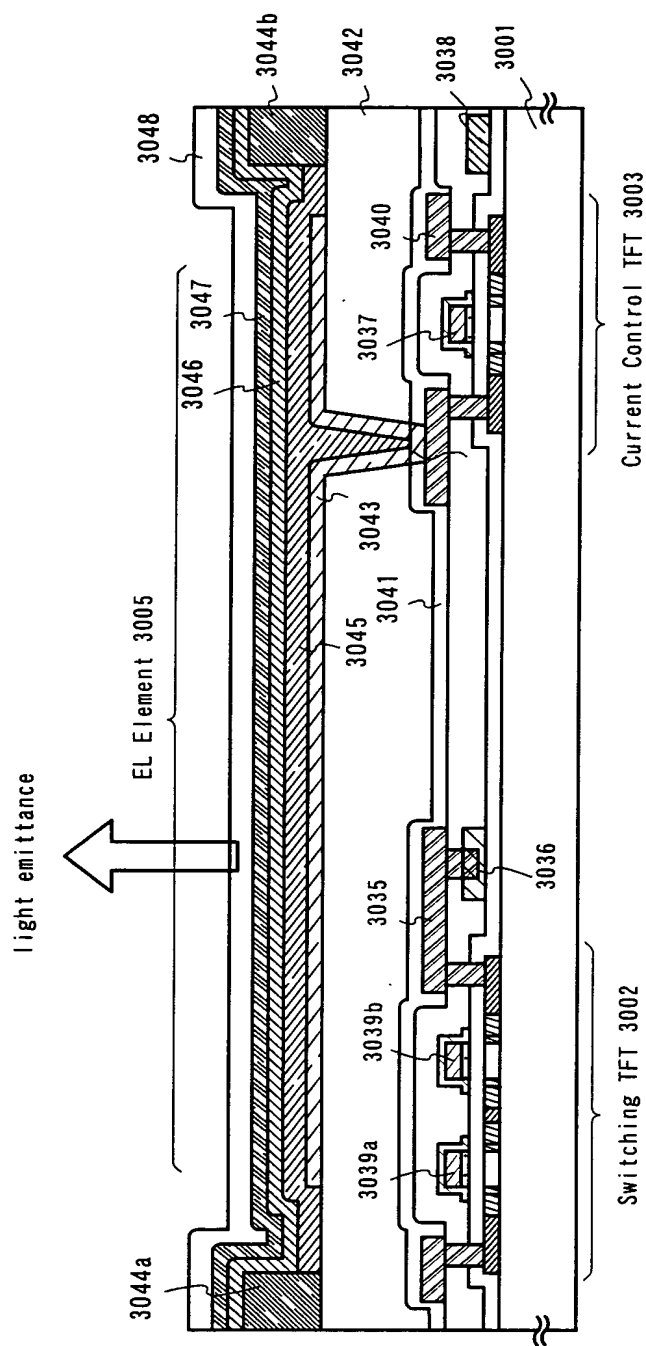


Fig. 23



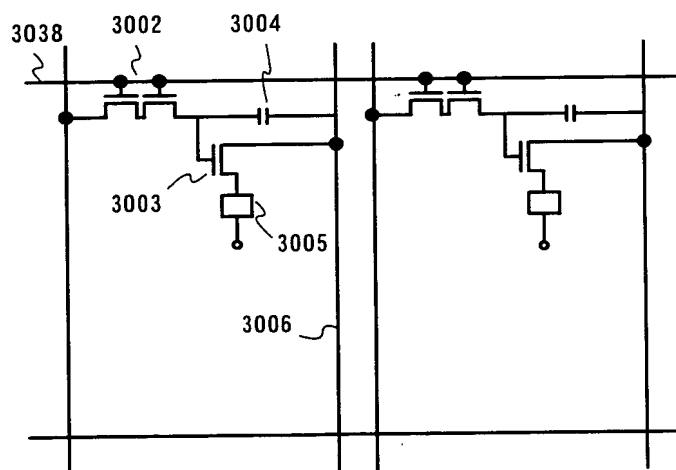


Fig. 25

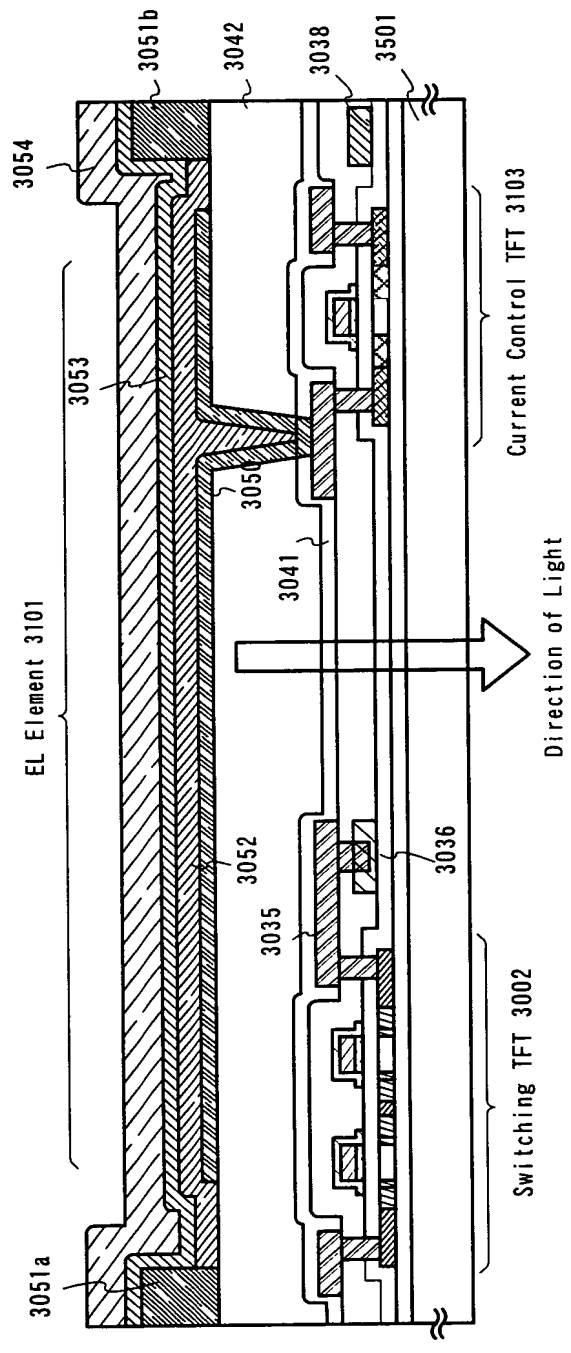


Fig. 26A

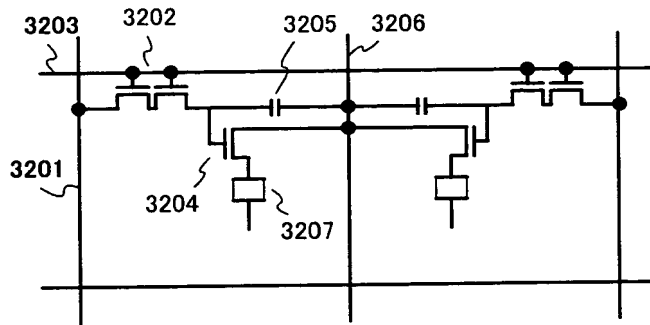


Fig. 26B

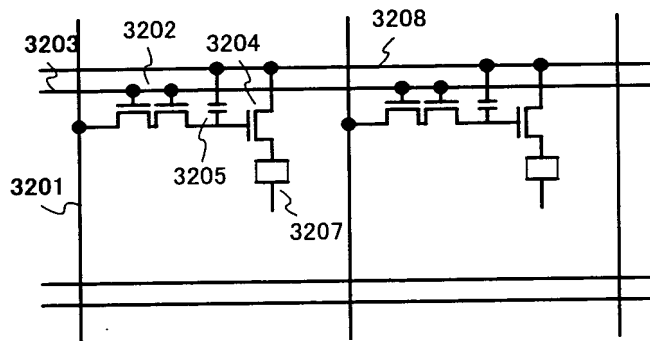


Fig. 26C

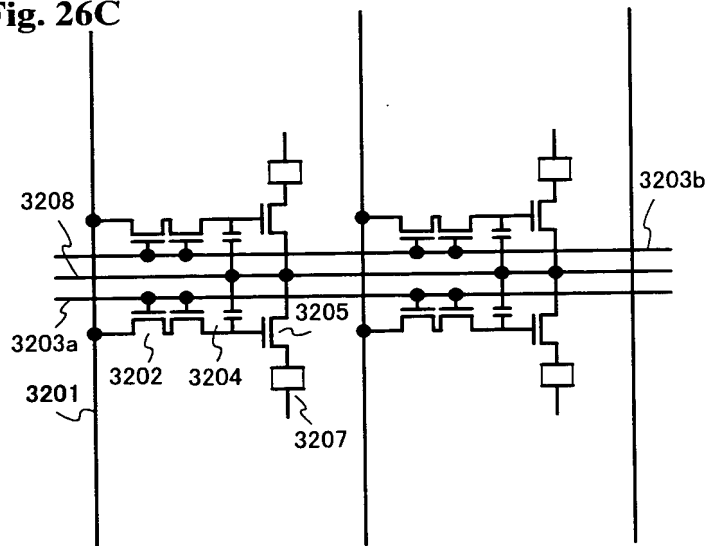
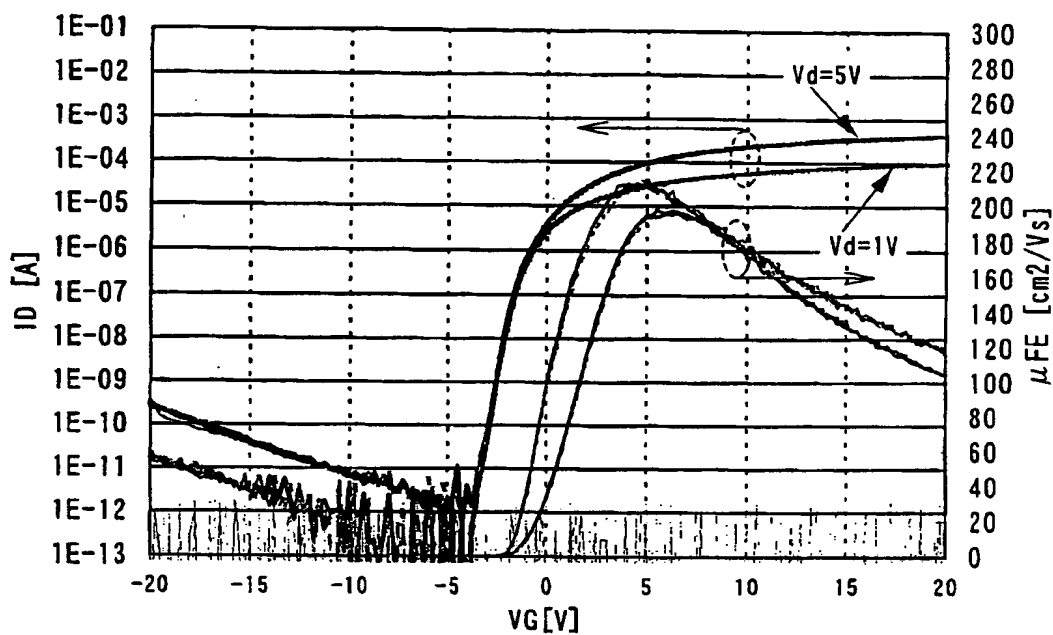


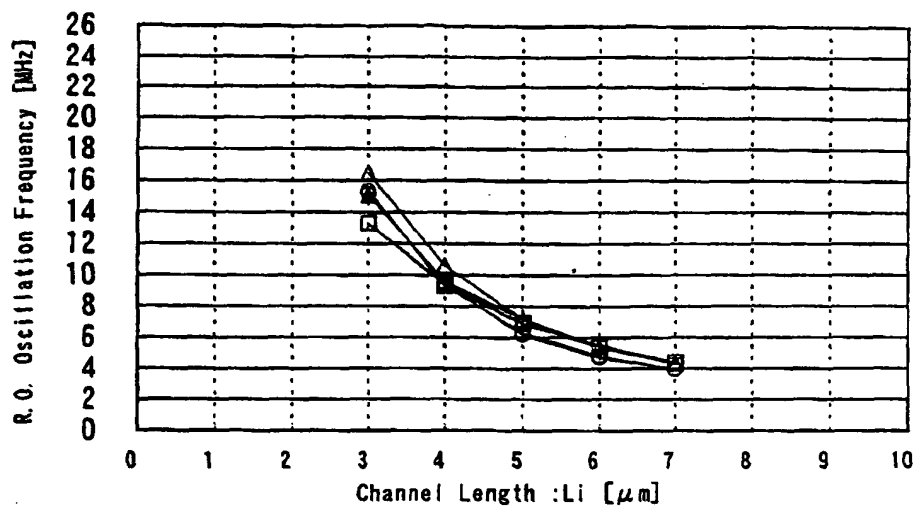
Fig. 27

PA674, Unit.0 XII Y.T ([C], N-ch, L/W= 8/ 7.8,
Tox= 115)



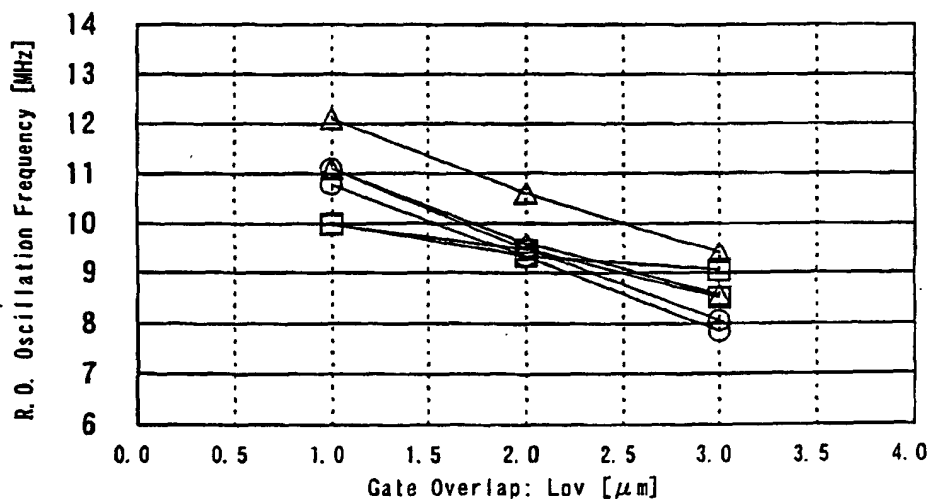
00120: 52920560

Fig. 28A



Ring Oscillator (R.O.) 19 stages, $L_{ov}=2\mu\text{m}$, $L_{off}=0\mu\text{m}$, $W=10\mu\text{m}$
 ○: laser activation + heat treatment 450°C, 4 hours
 □: 500°C, 4 hours
 △: 550°C, 4 hours

Fig. 28B



Ring Oscillator (R.O.) 19 stages, $L_i=6\mu\text{m}$, $L_{off}=0\mu\text{m}$, $W=10\mu\text{m}$
 ○: laser activation + heat treatment 450°C, 4 hours
 □: 500°C, 4 hours
 △: 550°C, 4 hours

001120 52920550